

Binder ratio, cumulant 以及模型对称性

郭文安

October 17, 2018

我们考虑模拟的模型的序参量 \mathbf{m} 是 n 元矢量. $n = 1$ 对应Ising 磁化强度, $n = 2$ 你可以设想是XY模型, $n = 3$ 对应Heisenberg模型或O(3)模型. 但这样的序参量并不限于这个几个模型, 比如钟表模型(clock model)其序参量是 $n = 2$ 的矢量. 4态Potts模型序参量可以看作3元矢量.

在蒙卡模拟中我们经常用到的无量纲量(dimensionless quantity)是4阶Binder ratio

$$R_2 = \frac{\langle m^4 \rangle}{\langle m^2 \rangle^2}. \quad (1)$$

其中 \mathbf{m} 是序参量. $m^2 = \mathbf{m} \cdot \mathbf{m}$. 有时也用二阶Binder ratio

$$R_1 = \frac{\langle m^2 \rangle}{\langle |m| \rangle^2}. \quad (2)$$

在模拟量子模型的时候, 由于序参量几个分量不对易, 有的算法不方便计算 \mathbf{m} , 此时我们可以计算某个分量的Binder ratio. 比如

$$R_2^{(z)} = \frac{\langle m_z^4 \rangle}{\langle m_z^2 \rangle^2}. \quad (3)$$

在相变点 T_c , R_2 (以及 R_1)是与尺寸无关的常数 (忽略正比于 $L^{-\omega_i}$ 的标度修正, 其中 $\omega_i > 0, i = 1, 2, \dots$, 当 $L \rightarrow \infty$ 时这些修正项消失). 利用这一特性我们可以定出相变点, 甚至临界指数 ν . 这一常数 R_{2C} (R_{1C})也是普适的, 由相变普适类决定, 前提是要固定边界条件, 包括系统长宽比之类的。

在高温无序相和低温有序相, 序参量的分布几率分别是两种不同的高斯分布. 据此我们可以直接算出

$$R_2 \rightarrow \frac{n+2}{n}, \text{ 当处于无序相 } T > T_c, L \rightarrow \infty \quad (4)$$

$$R_2 \rightarrow 1, \text{ 当系统处于有序相, } L \rightarrow \infty \quad (5)$$

因此我们可以定义所谓的Binder cumulant (累积量)

$$U_2 = \frac{n+2}{2} \left(1 - \frac{n}{n+2} R_2\right) \quad (6)$$

它有很好的性质：当 $T > T_c$, U_2 随尺寸趋于0； $T < T_c$, U_2 随尺寸趋于1. Figure 1是 $n = 1$ 的Ising情形.

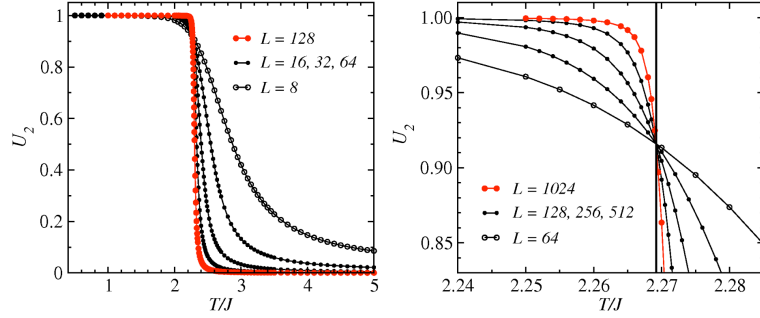


Figure 1: U_2 of 2D Ising model, $n = 1$.

我们来证明Eq. (4).

考虑到高温相 \mathbf{m} 在原点附近涨落

$$p(m_1, m_2, \dots, m_n) = \frac{\prod_i^n \exp(-\lambda m_i^2)}{N} = \prod_i^n p(m_i) \quad (7)$$

其中归一化因子

$$N = \prod_i^n \int_{-\infty}^{\infty} \exp(-\lambda m_i^2) dm_i. \quad (8)$$

即：每个分量是独立的高斯分布，中心在 $m_i = 0$ ：

$$p(m_i) = \frac{\exp(-\lambda m_i^2)}{\int_{-\infty}^{\infty} \exp(-\lambda m_i^2) dm_i}. \quad (9)$$

因此

$$\langle m^2 \rangle = \sum_i \int_{-\infty}^{\infty} m_i^2 p(m_i) dm_i. \quad (10)$$

利用高斯积分公式

$$\int_{-\infty}^{\infty} \exp(-\lambda x^2) dx = \sqrt{\frac{\pi}{\lambda}}, \quad (11)$$

和

$$\int_{-\infty}^{\infty} x^2 \exp(-\lambda x^2) dx = \frac{1}{2} \sqrt{\frac{\pi}{\lambda^3}}, \quad (12)$$

得到

$$\langle m^2 \rangle = \frac{n}{2\lambda}. \quad (13)$$

再来计算 $\langle m^4 \rangle$.

$$\langle m^4 \rangle = \sum_{ij} \langle m_i^2 m_j^2 \rangle = n \langle m_i^4 \rangle + n(n-1) \langle m_i^2 m_{j \neq i}^2 \rangle. \quad (14)$$

利用

$$\int_{-\infty}^{\infty} x^4 \exp(-\lambda x^2) dx = \frac{3}{4} \sqrt{\frac{\pi}{\lambda^5}}, \quad (15)$$

得到

$$\langle m^4 \rangle = (3n + n^2 - n) \frac{1}{4\lambda^2}. \quad (16)$$

因此

$$R_2 = \frac{n+2}{n}. \quad (17)$$

再来证明Eq.(5).

尽管我们假设序参量是 n 维矢量，但模型的对称性可以不同。然而我们会看到在低温相Binder ratio “看不到” 这些。

比如：假设模型Hamiltonian是 $O(n)$ 的。那么在低温相序参量不为零，且分布仍然是 $O(n)$ 对称的（对Ising来说是 $\pm m_0$ 两个点）： \mathbf{m} 的分布与角度无关，其极大值出现在某个 $m_0 \neq 0$ 的球面上。这是由于我们模拟的是有限尺寸系统，系统对称性并不真正破缺到某个方向。

对角度积分之后的几率分布为

$$p(m) dm = \frac{m^{n-1} \exp(-\lambda(m - m_0)^2) dm}{N} \quad (18)$$

with

$$N = \int_0^{\infty} dm m^{n-1} \exp(-\lambda(m - m_0)^2) \quad (19)$$

在尺寸 $L \rightarrow \infty$ 时，可以认为 $\lambda \rightarrow \infty$, 分布就是‘厚度为零的球面’分布：

$$p(m) = \delta(m - m_0). \quad (20)$$

于是 $\langle m^4 \rangle = m_0^4, \langle m^2 \rangle = m_0^2$. 所以 $R_2 = 1$. Figure 2 (a) 就是 XY 模型序参量的分布图。

以上结果也可硬算出来。

$$\langle m^2 \rangle = \frac{\int_0^\infty m^{n+1} \exp(-\lambda(m - m_0)^2) dm}{N} \quad (21)$$

把 m 写成 $m = (m - m_0 + m_0)$, 对 m 的积分变成对 $m - m_0$ 的积分。由于 $\lambda \rightarrow \infty$, 积分限可以认为是从负无穷到正无穷。展开 $((m - m_0) + m_0)^{n+1}$, 积分。只有最后一项 m_0^{n+1} 最重要, 与分母中 m_0^{n-1} 项相约后, 得到 m_0^2 。

$\langle m^4 \rangle$ 的结果可以类似得到。

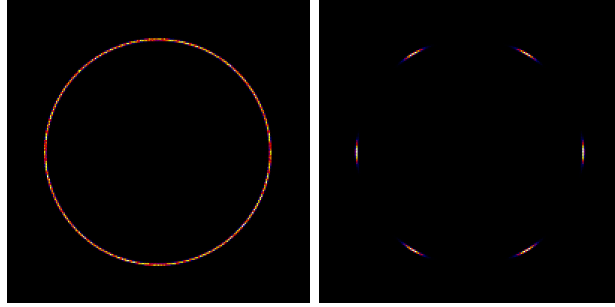


Figure 2: (a) 3D XY模型, $T = 1.5, L = 32$ m 的分布; (b) 3D XY model 加 $q = 6$ 的各向异性场, 同样温度, 尺寸。

如果模型并不是 $O(n)$ 的, 比如是具有 Z_q 对称性的‘软’钟表模型 (soft clock)

$$H = -J \sum_{\langle ij \rangle} \cos(\theta_i - \theta_j) - h \sum_k \cos(q\theta_k) \quad (22)$$

其中自旋是二维单位矢量, θ_i 是其指向。

在低温下, 其序参量不为零, 分布是如图 2(b) 所示的 Z_q 对称分布。可以写成如下

$$p(\mathbf{m}) = \frac{1}{q} \sum_i^q \delta(\mathbf{m} - \mathbf{m}_i). \quad (23)$$

容易算出 $\langle m^2 \rangle = |m_i|^2 = m_0^2, \langle m^4 \rangle = m_0^4$, 因此 $U_2 = 1$ 。

如果我们研究的是 q 态Potts model, q 个自旋状态可以理解为指向 $q-1$ 维空间中超四面体的 q 个对称方向。比如 $q=2$ 时, 该‘四面体’是一维空间中的两个端点; $q=3$, ‘四面体’是2维空间中正三角形, 3个自旋状态是从原点指向它的三个顶点 (原点在三角形中心); $q=4$, ‘四面体’是3维空间中的正四面体, 自旋可以指向其4个顶点 (原点在中心)。如图3所示。

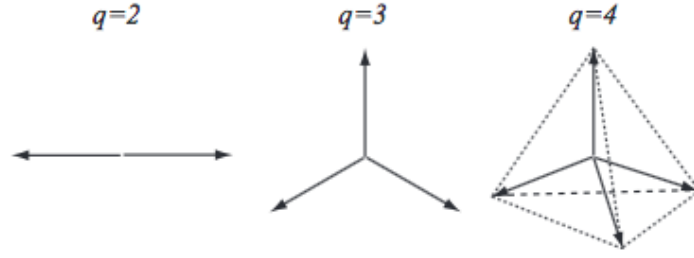


Figure 3: Potts model 中自旋可看作 $q-1$ 维空间中单位矢量。

利用这个矢量图像, Potts 模型的哈密顿可以写成

$$H = \sum_{ij} \frac{1}{q} (1 + (q-1) \mathbf{e}_i^{(\alpha)} \cdot \mathbf{e}_j^{(\beta)}) \quad (24)$$

其中 $\mathbf{e}^{(\alpha)}$, $\alpha = 1, 2, \dots, q$ 是 q 个单位矢量, 指向超四面体顶角。容易证明

$$\mathbf{e}^{(\alpha)} \cdot \mathbf{e}^{(\beta)} = (q\delta_{\alpha,\beta} - 1)/(q-1). \quad (25)$$

通常Potts model的序参量平方定义为

$$m^2 = \frac{1}{q-1} \sum_{\alpha=1}^{q-1} \sum_{\beta=\alpha+1}^q (\rho_\alpha - \rho_\beta)^2 \quad (26)$$

ρ_i 是处于 α 态的自旋密度。其实就等于

$$m^2 = \mathbf{m} \cdot \mathbf{m} = \left(\sum_{\alpha} \rho_{\alpha} \mathbf{e}^{(\alpha)} \right)^2 \quad (27)$$

序参量本身是 $n = q-1$ 维矢量。

根据前面的讨论, 我们知道在高温相, $R_2 \rightarrow (q+1)/(q-1)$; 在低温相, \mathbf{m} 不为零, 其分布应该是‘超四面体’顶点处的 δ 函数。所以 $R_2 \rightarrow 1$ 。如图4. U_2 可以改写为

$$U_2 = \frac{q+1}{2} \left(1 - \frac{q-1}{q+1} R_2 \right) \quad (28)$$

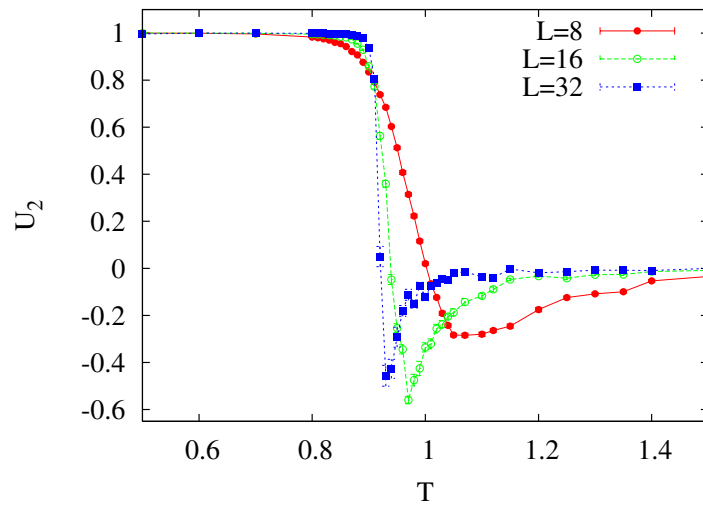


Figure 4: (a) 2D 4态Potts模型